

# The Kelvin pattern

An example on wave optics  
MEK4320

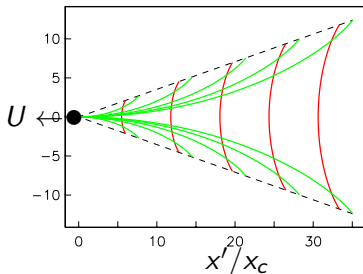
Geir Pedersen

Department of Mathematics, UiO

May 29, 2017

# Skipsbølgemønster.

## Punktforstyrrelse i overflaten



Konstant hastighet:  $\vec{U} = -U\vec{i} \Rightarrow$  stasjonært og langsomt varierende bølgesystem. Isotrop dispersjonsrelasjon

$$\vec{c}' = c_0(k) \frac{\vec{k}}{k} \quad (1)$$

## Bytte av koordinatsystem

Vi følger forstyrrelsen  $\vec{r} = \vec{r}' - \vec{U}t$ .

Harmonisk mode:

$$A \cos \chi_H = A \cos(\vec{k} \cdot \vec{r}' - \omega' t) = A \cos(\vec{k} \cdot \vec{r} - (\omega' + \vec{k} \cdot \vec{U})t)$$

$$\omega = c_0(k)k + \vec{U} \cdot \vec{k} \equiv W(k_x, k_y) \quad (2)$$

$$\vec{c} = \left( c_0(k) + \vec{U} \cdot \frac{\vec{k}}{k} \right) \frac{\vec{k}}{k} \quad (3)$$

der  $\vec{k} = k_x \vec{i} + k_y \vec{j}$

Dopplerskift  $\Rightarrow$  Anisotrop dispersjon

Stasjonært mønster gir  $\omega = 0$ . (2) gir da:

$$W(k_x, k_y) = 0 \quad (4)$$

Gruppehastighet

$$\vec{c}_g = \frac{\partial W}{\partial k_x} \vec{i} + \frac{\partial W}{\partial k_y} \vec{j} \quad (5)$$

Hamiltons likninger

$$\frac{d\vec{r}}{dt} = \vec{c}_g, \quad \frac{d\vec{k}}{dt} = 0 \quad (6)$$

der

$$\frac{d}{dt} \equiv \frac{\partial}{\partial t} + \vec{c}_g \cdot \nabla \quad (7)$$

Uniformt medium  $\Rightarrow$  Karakteristikkene blir rette linjer  
Bare de karakteristikkene kan bære energi som går gjennom  
forstyrrelsen (origo)

Må ha

$$x = c_{gx}t, y = c_{gy}t.$$

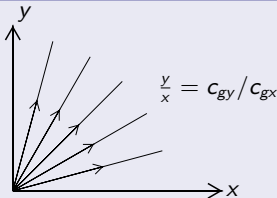
(Selv om mønstret er stasjonært kan karakteristikker parameteriseres vha. tiden)

Eliminasjon av  $t$ :

$$\frac{y}{x} = \frac{\frac{\partial W}{\partial k_y}}{\frac{\partial W}{\partial k_x}} \quad (8)$$

kombinert med  $W(k_x, k_y) = 0$  (4)  $\Rightarrow$  to likninger for  $k_x$  og  $k_y$ .

## Karakteristikker



## Fasefunksjonen

$$\chi(\vec{r}) = \chi_0 + \int_{C(\vec{r})} \vec{k} \cdot d\vec{r} \quad (9)$$

der  $\chi_0$  er fasen i origo og  $C(\vec{r})$  integrasjonsvei  
Integrasjon langs karakteristikkene er triviell fordi  $\vec{k}$  er konstant på hver karakteristikk.

$$\chi(\vec{r}) = \chi_0 + k_x x + k_y y \quad (10)$$

Faselinjer  $\chi = -A$ . To muligheter for visualisering/tolkning

- En raskt danne seg et bilde av faselinjene ved å plote nivålinjene til  $\chi$  i feks. Matlab.
- En kan parameterisere faselinjer. En del trigonometri, men en demonstrerer to uavhengige løsninger for  $\vec{k}$  fra (8) og (4)

# Parameterisering av faselinjer for uendelig dyp

$\theta$ : vinklen mellom  $\vec{k}$  og negativ  $x$ -akse

$$k_x = -k \cos \theta, \quad k_y = k \sin \theta. \quad (11)$$

(4) kan skrives om til

$$c_0 = U \cos \theta,$$

og  $c_0(k) = \sqrt{g/k}$  gir da

$$k = \frac{g}{U^2 \cos^2 \theta} \quad (12)$$

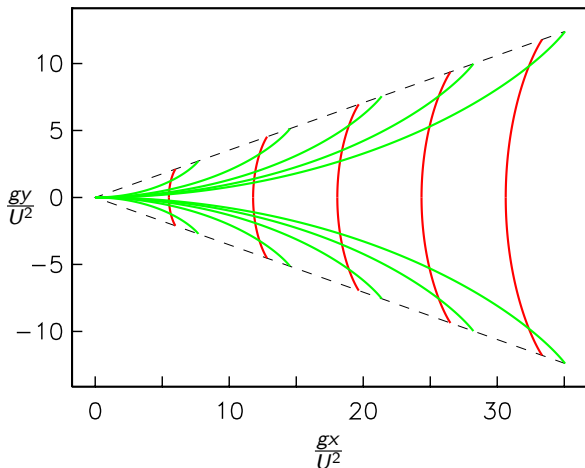
(8) og (10) løses for  $x$  og  $y$

$$x = \frac{(A - \chi_0)g}{U^2} \cos \theta (1 + \sin^2 \theta) \quad (13)$$

$$y = \frac{(A - \chi_0)g}{U^2} \cos^2 \theta \sin \theta \quad (14)$$

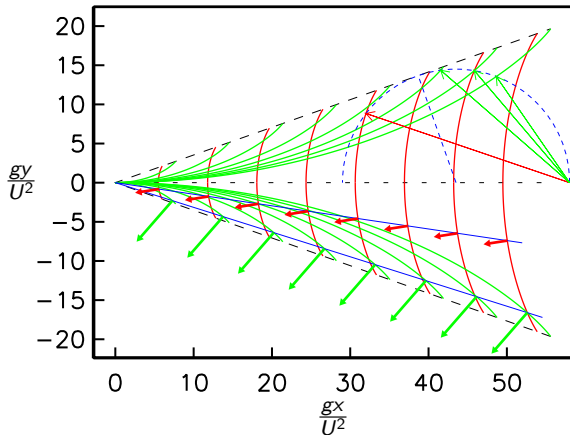
NB:  $y(\theta)/x(\theta)$  ekstremum for  $\cos \theta = \sqrt{2/3}$  ( $\theta = \theta_c = 35.3^\circ$ )  $\Rightarrow$  faselinjene har knekker  $\Rightarrow$  uavhengige løsninger

Punktforstyrrelse: kan vises, vha. andre teknikker, at  
 $\chi_0 = \frac{1}{4}\pi, -\frac{1}{4}\pi$  for hhv. hekk og baugbølger.





# The Kelvin pattern, more details



Fat arrows: wave number vectors.

Dashed half circle: propagation with  $\vec{c}_g$  from intersection with x-axis, subject to  $c_0 = U \cos \theta$ . Thin arrows: corresponding rays.